

Поскольку для нейтрального атома $\text{Eu}^0 (4f^7 6s^2)$ $\delta \sim 5$ мм/с [7], можно утверждать, что в соединениях Ga_2S_3 и Ga_2Se_3 европий находится в состоянии $\text{Eu}^{2+} (4f^7)$. Так как легирование европием не приводит к изменению типа проводимости соединений Ga_2S_3 (исходный *n*-типа) и Ga_2Se_3 (исходный *p*-типа) [6, 8], следует предположить, что атом европия в этих соединениях не создает электрически активных уровней в запрещенной зоне кристалла. Это является дополнительным аргументом в пользу того, что европий не является примесью замещения в исследованных соединениях.

Таким образом, мы приходим к следующему заключению. В отличие от полупроводников с бездефектной структурой в соединениях $\text{A}_2^{\text{III}}\text{B}_3^{\text{VI}}$ европий не замещает атом решетки, а взаимодействует с вакансиями, образуя «двойной» центр типа $(\text{Eu}^{2+} - V_{\text{Ga}}^0)$. Это, в свою очередь, может приводить к появлению энергетических уровней в запрещенной зоне, ответственных за линию люминесценции в области 0.54 мкм [9, 10]. Очевидно, что это состояние в запрещенной зоне сформировано из зонных, т. е. отщеплено от разрешенных зон вследствие снятия вырождения за счет сильных локальных напряжений.

По-видимому, и другие РЭЭ могут вести себя подобным же образом. В частности, отсутствие спектра ЭПР итербия указывает на то, что и эта примесь не является примесью замещения в $\text{A}_2^{\text{III}}\text{B}_3^{\text{VI}}$, поскольку во всех изученных полупроводниках, где она является таковой, ее состояние $\text{Yb}^{3+} (4f^{13})$ (см., например, [1]), в то время как ион Yb^{2+} имеет электронную конфигурацию $4f^{14}$, т. е. диамагнитен.

Список литературы

- [1] Мастеров В. Ф. // ФТП. 1984. Т. 18. В. 1. С. 3—23.
- [2] Manolikas C. // Phys. St. Sol. (a). 1982. V. 69. P. 393—405.
- [3] Алласов М. Ф., Бабаева П. К., Рустамов П. Г. // Изв. АН СССР. Неорг. матер. 1979. Т. 15. В. 7. С. 1177—1181.
- [4] Finkman E., Tauc J., Kershaw R., Wold A. // Phys. Rev. B. 1975. V. 11. N 10. P. 3785—3794.
- [5] Griscom D. L. // J. Non-Cryst. Sol. 1980. V. 40. P. 211—272.
- [6] Горюнова Н. А. Сложные алмазоподобные полупроводники. М., 1968. 268 с.
- [7] McNab T. K., Micklitz H., Barret P. H. // Mössbauer isomer shifts // Ed. by G. K. Shewmon. Amsterdam, 1978. P. 223—250.
- [8] Рустамов П. Г. Халькогениды галлия. Баку, 1967. 130 с.
- [9] Donohue P. C., Hanlon J. E. // J. Electrochem. Soc. 1974. V. 121. N 1. P. 137—142.
- [10] Золин В. Ф., Корнева Л. Г. Редкоземельный зонд в химии и биологии. М., 1980. 349 с.

Ленинградский
политехнический институт
им. М. И. Калинина

Получено 5.12.1988
Принято к печати 9.03.1989

ФТП, том 23, вып. 7, 1989

ФОТОПРОВОДИМОСТЬ ЭПИТАКСИАЛЬНЫХ СЛОЕВ $n\text{-Hg}_{1-x}\text{Mn}_x\text{Te}$

Назаренкова Т. И., Сальков Е. А., Сочинский Н. В.

Полумагнитный полупроводник $\text{Hg}_{1-x}\text{Mn}_x\text{Te}$ образует непрерывный ряд гомогенных твердых растворов со структурой сфалерита в области составов $0 \leq x \leq 0.35$ мол. долей [1]. Повышенный интерес, проявляющийся в последние годы к этому материалу, обусловлен перспективой его широкого применения в ИК-фотоэлектронике [2, 3].

Вопросы получения и исследования свойств эпитаксиальных слоев (ЭС) $\text{Hg}_{1-x}\text{Mn}_x\text{Te}$ рассмотрены в работах [4—6]. Основным недостатком ЭС, сдерживающим их практическое использование, является обусловленная особенностями технологии получения слабая фоточувствительность. Вследствие этого фотоэлектрические свойства эпитаксиального $\text{Hg}_{1-x}\text{Mn}_x\text{Te}$ в литературе не рассматривались.

В настоящей работе приводятся первые результаты по получению фоточувствительных нелегированных ЭС $n\text{-Hg}_{1-x}\text{Mn}_x\text{Te}$ и исследованию их фотопроводимости (ФП).

ЭС выращивались при температурах 700–880 К по комбинированной методике с последовательным применением в едином технологическом процессе парофазной и жидкокристаллической эпитаксии [7]. Жидкокристаллическую эпитаксию проводили из теллуровых растворов ртути и марганца. В качестве подложек использовались монокристаллические пластины CdTe ориентации (111) А со средними размерами $15 \times 15 \times 1.5$ мм, металлографической плотностью дислокаций $(1 \div 5) \cdot 10^5 \text{ см}^{-2}$ и удельным сопротивлением $10^3 \div 10^5 \text{ Ом} \cdot \text{см}$. Применявшиеся ростовые устройства позволяли получать ЭС на одной или обеих сторонах подложек. Скорости парофазного и жидкокристаллического роста составляли соответственно $1 \div 2 \text{ мкм/ч}$ и $0.5 \div 1.2 \text{ мкм/мин}$.

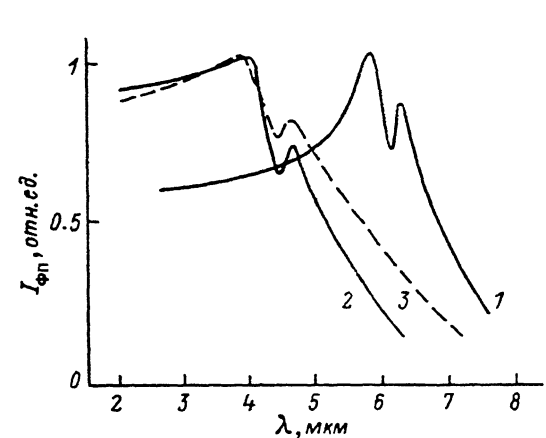


Рис. 1. Спектры ФП ЭС $n\text{-Hg}_{1-x}\text{Mn}_x\text{Te}$ при 77 К.
1 — свежевыращенный ЭС с необработанной ростовой поверхностью ($x=0.12$), 2 — ЭС с полированной ростовой поверхностью ($x=0.14$), 3 — ЭС с $x=0.14$, сполированный до толщины 8 мкм.

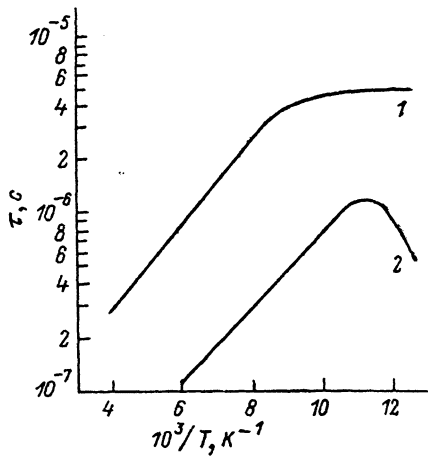


Рис. 2. Температурная зависимость постоянной времени релаксации ФП.
1 — ЭС с локальными неоднородностями π ,
2 — электрически однородные ЭС.

Выращенные ЭС были монокристаллическими и имели зеркально гладкую поверхность с обычной для жидкокристаллической эпитаксии дефектной микроструктурой в виде ростовых террас, расходящихся от центров преимущественного роста [8]. Толщина ЭС составляла $10 \div 40$ мкм. Планарность гетерограниц и распределение компонентов по толщине исследовали на свежих сколах структур ЭС/подложка методами растровой электронной микроскопии и рентгеновского микрозондового анализа. Области переменного состава по марганцу и кадмию в ЭС, обусловленные диффузионным размытием гетерограницы в процессе эпитаксии, имели толщины $2 \div 4$ и $3 \div 7$ мкм соответственно. Управление температурным режимом жидкокристаллической эпитаксии давало возможность получать ЭС $\text{Hg}_{1-x}\text{Mn}_x\text{Te}$ n -типа непосредственно в процессе выращивания без применения дополнительного отжига в парах ртути.

Для исследования спектров в ФП и температурных зависимостей постоянной времени релаксации ФП (τ) использовали образцы с поперечными омическими индиевыми контактами, приготовленные из ЭС с шириной запрещенной зоны $E_g = 100 \div 300$ мэВ. Концентрации и подвижности электронов в них, определенные по холловским измерениям, составляли соответственно при 300 К $n = (1 \div 30) \cdot 10^{16} \text{ см}^{-3}$ и $\mu = (7 \div 12) \cdot 10^3 \text{ см}^2/(\text{В} \cdot \text{с})$, при 77 К $n = (2 \div 10) \cdot 10^{15} \text{ см}^{-3}$ и $\mu = (3 \div 18) \cdot 10^4 \text{ см}^2/(\text{В} \cdot \text{с})$.

ФП измеряли по модуляционной методике. Частота модуляции светового потока составляла 600 Гц.

Кривые релаксации фототока после короткого ($2 \cdot 10^{-8}$ с) импульса возбуждения от Nd-лазера ($\lambda = 1.06$ мкм) обычно имели две составляющие — быструю ($\tau < 10^{-8}$ с) и медленную ($\tau > 10^{-7}$ с), связанные соответственно с поверхностью

ной и объемной рекомбинацией. Значения τ в объеме ЭС определяли при температурах 77–250 К из анализа медленной составляющей кривых релаксации.

Типичные спектры ФП ЭС $n\text{-Hg}_{1-x}\text{Mn}_x\text{Te}$ при 77 К приведены на рис. 1. Для образцов состава $x=0.12\div0.15$ мол. долей они состоят из двух полос. Коротковолновая полоса соответствует переходам «валентная зона—зона проводимости», а длинноволновая — переходам «акцепторный уровень—зона проводимости». Расстояние между максимумами полос уменьшается от 55 до 15 мэВ с уменьшением x от 0.15 до 0.12 мол. долей. Сопоставление энергетического положения длинноволновой полосы ФП ЭС с аналогичной полосой в спектрах ФП объемных кристаллов $\text{Hg}_{1-x}\text{Mn}_x\text{Te}$ сравнимого состава [9] позволяет сделать вывод о том, что наблюдаемый акцепторный уровень в ЭС и кристаллах имеет одинаковое «объемное» происхождение.

В спектрах ФП свежевыращенных ЭС с необработанной ростовой поверхностью (кривая 1) наблюдается резкий коротковолновый спад, обусловленный интенсивной поверхностной рекомбинацией. После полирующего травления поверхности ЭС на глубину 2–5 мкм коротковолновый участок спектров ФП становится более пологим (кривая 2). При дальнейшем утоньшении ЭС наблюдается небольшое (~12 мэВ) смещение в коротковолновую область связанного с межзонными переходами максимума кривой 3 по отношению к кривой 2, а более пологий ход длинноволнового участка кривой 3 обусловлен варизонностью ЭС. Из сравнения кривых 2 и 3 также следует вывод о том, что положение связанного с межзонными переходами максимума в спектре ФП определяется преимущественно концентрацией марганца в ЭС и слабо зависит от диффузионного проникновения в них кадмия.

По виду температурной зависимости τ , представленной на рис. 2, все исследованные образцы можно разделить на две группы. Для образцов, приготовленных из ЭС с локальными неоднородностями n по площади (первая группа), характерно наличие участка слабой зависимости τ от T при низких температурах $77 \leq T \leq 110$ К (кривая 1), а для электрически однородных образцов (вторая группа) — наличие низкотемпературного участка термоактивации акцепторного уровня рекомбинации (кривая 2). Для $x=0.14$ мол. долей энергия активации $E_a=45$ мэВ. Численные значения τ в образцах первой группы всегда больше, чем в образцах второй. Это может быть связано с сенсибилизирующими влиянием дефектных уровней и с пространственным разделением носителей заряда разного знака вблизи границ раздела областей с различными значениями n . При высоких температурах уменьшение τ обусловлено усилением межзонной оже-рекомбинации. Сопоставление наших результатов с данными [10] по τ -метрии объемных кристаллов $\text{Hg}_{1-x}\text{Cd}_x\text{Te}$ со сравнимыми значениями E_a подтверждает вывод об определяющем влиянии на τ концентрационной неоднородности образцов.

Список литературы

- [1] Delves R. T., Levis B. // J. Phys. Chem. Sol. 1963. V. 24. N 7. P. 549–556.
- [2] Furdina J. K. // Proc. Soc. Phot. Instr. Eng. 1983. N 409. P. 43–52.
- [3] Wall A., Caprile C., Franciosi A., Reifenberger R., Debska U. // J. Vac. Sci. Techn. 1986. V. A4. N 3. P. 818–822.
- [4] Becla P., Wolff P. A., Aggarwal R. L., Yuen S. Y. // J. Vac. Sci. Techn. 1985. V. A3. N 1. P. 116–118.
- [5] Takita K., Uchino T., Ipposhi T., Masuda K. // Sol. St. Commun. 1985. V. 56. N 7. P. 603–606.
- [6] Faurie J. P., Reno J., Sivananthan S., Sou I. K., Chu K., Boukerche M., Wijewarnasuriya R. S. // J. Vac. Sci. Techn. 1986. V. B4. N 2. P. 585–589.
- [7] Sand E., Levi D., Nemirovsky Y. // Appl. Phys. Lett. 1985. V. 46. N 5. P. 501–503.
- [8] Жовнир Г. И., Сальков Е. А., Сочинский Н. В., Ханат Л. Н., Чалая В. Г., Чююкан И. П. // Тез. докл. XII Всес. конф. по микроэлектронике. Тбилиси, 1987. Ч. II. С. 121–123.
- [9] Гельмонт Б. Л., Голонска Р. Р., Вахабова Э. М., Иванов-Омский В. И., Постолаки И. Т., Смирнов В. А. // ФТП. 1986. Т. 20. В. 1. С. 73–79.
- [10] Pratt R. G., Hewett J., Capper P., Jones C. L., Judd N. // J. Appl. Phys. 1986. V. 60. N 7. P. 2377–2385.